

การศึกษาไม่ดีการขับขี่ในกรุงเทพมหานครและมลพิชชากรถยนต์

นาย ชัชพล ชังชู



วิทยานิพนธ์นี้เป็นส่วนหนึ่งของการศึกษาตามหลักสูตร ปริญญาวิศวกรรมศาสตรมหาบัณฑิต

ภาควิชาศวกรรมเครื่องกล

บัณฑิตวิทยาลัย จุฬาลงกรณ์มหาวิทยาลัย

ปีการศึกษา 2539

ISBN 974 - 634 - 906 - 6

ลิขสิทธิ์ของบัณฑิตวิทยาลัย จุฬาลงกรณ์มหาวิทยาลัย

1712105X

STUDY OF BANGKOK DRIVING MODES AND VEHICLE EMISSIONS

Mr. Chat Chapol Chungchoo

A Thesis Submitted in Partial Fulfillment of the Requirement

for the Degree of Master of Engineering

Department of Mechanical Engineering

Graduate School

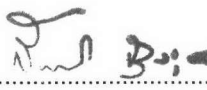
Chulalongkorn University

Academic Year 1996

ISBN 974 - 634 - 906 - 6

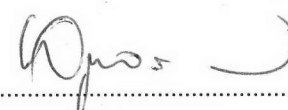
หัวข้อวิทยานิพนธ์ การศึกษาโมดูลการขับชีวิกรุงเทพมหานครและมลพิชจากรถยนต์
โดย นาย ชัชพล ชังชู
ภาควิชา วิศวกรรมเครื่องกล
อาจารย์ที่ปรึกษา รองศาสตราจารย์ พูลพร แสงบางปลา

บันทึกวิทยาลัย จุฬาลงกรณ์มหาวิทยาลัย อนุมัติให้นับวิทยานิพนธ์ฉบับ นี้เป็นส่วนหนึ่ง
ของการศึกษาตามหลักสูตรปริญญามหาบัณฑิต

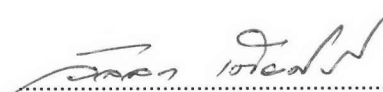
 คณบดีบันทึกวิทยาลัย
()

คณะกรรมการสอบวิทยานิพนธ์

 ประธานกรรมการ
(รองศาสตราจารย์ ดร. วิทยา ยงเจริญ)

 อาจารย์ที่ปรึกษา
(รองศาสตราจารย์ พูลพร แสงบางปลา)

 กรรมการ
(อาจารย์ ดร. CHANTACHAI WANNAVIECHAY)

 กรรมการ
(นาย วัฒนา เตียศิริ)

พิมพ์ด้วยน้ำหมึกด้วยอุปกรณ์ภายในกรอบสีเขียวที่เพียงแผ่นเดียว



ชั้นพล ชั้นชู : การศึกษา modes of driving ในกรุงเทพมหานครและมลพิษจากรถยนต์ (STUDY OF BANGKOK DRIVING MODES AND VEHICLE EMISSIONS) อ.ที่ปรึกษา : วศ. พูลพร แสงบางปลา, 110 หน้า.
ISBN 974 - 634 - 906 - 6

วิทยานิพนธ์เรื่อง “ การศึกษา modes of driving ในกรุงเทพมหานครและมลพิษจากรถยนต์ ” เป็นการจัดสร้าง Bangkok driving mode ของปี 2537 (1994) และ 2538 (1995) โดยที่ดำเนินการจัดเก็บข้อมูลในช่วงเดือนพฤษภาคมถึงเดือนธันวาคมบนเส้นทาง 12 เส้นทางครอบคลุมพื้นที่ส่วนใหญ่ของกรุงเทพมหานครและทำการจัดสร้างเช่นเดียวกับ 10 mode ของประเทศญี่ปุ่น วิทยานิพนธ์นี้ได้พิจารณาตัวแปร 3 ตัวคือ ระยะทาง, ความเร็ว และเวลา

เมื่อนำ Bangkok driving mode ที่สร้างขึ้นได้เปรียบเทียบกับ E.C.E mode ซึ่งเป็น mode มาตรฐานที่บังคับใช้ในประเทศไทยตามมาตรฐานผลิตภัณฑ์คุณภาพสากล นอก. 1120 - 2535 ผลปรากฏว่ามีลักษณะที่แตกต่างกันคือ

1. อัตราเร่งและอัตราหน่วงของ Bangkok driving mode มีค่าสูงกว่า E.C.E. mode
2. ร้อยละ idle ใน Bangkok driving mode มีค่ามากกว่า E.C.E. mode

เมื่อทำการทดสอบปริมาณสารมลพิษจากไออกไซด์รถยนต์ตาม Bangkok driving mode ปี 1995 และ E.C.E. mode ตามลักษณะที่ 1 (Type I test) โดยทำการทดสอบรอบรถต่อที่ไม่ได้ติด Catalytic converter จำนวน 4 คัน ผลปรากฏว่าปริมาณสารมลพิษทั้ง 3 ตัวคือ HC, CO และ NOx ในไออกไซด์รถยนต์นั้นมีผลแตกต่างกันมากคือการทดสอบตาม Bangkok Driving mode นั้นปริมาณสารมลพิษสูงกว่าตาม E.C.E. mode ทั้งนี้ เพราะพฤติกรรมการขับขี่ตาม Bangkok driving mode มีอัตราเร่งและอัตราหน่วงที่สูงกว่า E.C.E. mode เป็นผลให้ปริมาณสารมลพิษในไออกไซด์มากกว่าและในทำงเดียวกันการที่รถยนต์อยู่ในสภาพ idle ก็จะทำให้ปริมาณสารมลพิษในไออกไซด์มากกว่าเช่นกัน

ภาควิชา วิศวกรรมศาสตร์
สาขาวิชา วิศวกรรมศาสตร์
ปีการศึกษา ๒๕๓๙

ลายมือชื่อนิสิต *C. C.*
ลายมือชื่ออาจารย์ที่ปรึกษา *ดร. สมชาย ใจดี*
ลายมือชื่ออาจารย์ที่ปรึกษาร่วม

C716151 : MAJOR
KEY WORD: MECHANICAL ENGINEERING

BANGKOK DRIVING MODE / EMISSIONS

CHATCHAPOL CHUNGCHOO : STUDY OF BANGKOK DRIVING MODES AND VEHICLE

EMISSIONS. THESIS ADVISOR : ASSO. PROF. PHULPORN SAENGBANGPLA, 110 pp.

ISBN 974 - 634 - 906 - 6

For this thesis, Study of Bangkok driving modes and vehicle emissions, is to make Bangkok driving mode from collected data during November and December in 1994 and 1995. Bangkok driving modes are made by analysis the data of 12 routes in all of Bangkok areas, using the Japanese 10 mode driving cycle method. This thesis uses 3 parameters (distance, velocity and time).

When I compared both of them, Bangkok driving modes with E.C.E. mode (as standard mode in TIS 1120 - 2535), It was found that the different between Bangkok driving mode and E.C.E. mode are

1. acceleration rate and deceleration rate of Bangkok driving modes are higher than E.C.E. mode,
2. percent idle of Bangkok driving mode is higher than E.C.E. mode.

Later, I tested 4 used cars (without catalytic converter) with Bangkok driving mode in 1995 and E.C.E. mode in order to measure vehicle emissions by following TIS 1120 - 2535 (Type I test). I found that the quantity of vehicle emissions, namely HC and CO , of Bangkok driving mode are higher than those of E.C.E. mode. Because driving along the Bangkok driving mode has higher acceleration rate and deceleration rate than the E.C.E. mode. Moreover, percent idle of Bangkok driving modes is also higher than E.C.E. mode , thus emissions from Bangkok driving modes are higher than from E.C.E. mode

ภาควิชา.....
สาขาวิชา.....
ปีการศึกษา.....

ลายมือชื่อนิสิต.....
ลายมือชื่ออาจารย์ที่ปรึกษา.....
ลายมือชื่ออาจารย์ที่ปรึกษาร่วม.....

กิตติกรรมประกาศ

วิทยานิพนธ์ฉบับนี้ได้สำเร็จลุล่วงไปได้ด้วยความช่วยเหลืออย่างดียิ่งของรองศาสตราจารย์ พูลพร แสงบางปلا อาจารย์ที่ปรึกษาวิทยานิพนธ์ รวมถึงเจ้าหน้าที่ห้องปฏิบัติการภานยนต์ทุกท่าน ซึ่งท่านเหล่านี้ได้ให้คำแนะนำและชี้แนะให้ดีต่อไป ของการวิจัยมาด้วยดีตลอด และเนื่องจากเครื่องมือในการวิจัยต่างๆ ได้รับความช่วยเหลือจากทางภาควิชาศึกษากรรมเครื่องกล จุฬาลงกรณ์มหาวิทยาลัย และ ภาควิชาศึกษากรรมเครื่องกล มหาวิทยาลัยเกษตรศาสตร์ จึงขอขอบพระคุณมา ณ ที่นี่ด้วย

ท้ายนี้ ผู้วิจัยได้รับความช่วยเหลืออย่างดีเยี่ยมจาก บิดา-มารดา ซึ่งสนับสนุนในด้านการเงินและให้กำลังใจแก่ผู้วิจัยเสมอมาจนสำเร็จการศึกษา

สารบัญ

เรื่อง	หน้า
บทคัดย่อภาษาไทย	๑
บทคัดย่อภาษาอังกฤษ	๒
กิตติกรรมประกาศ	๓
สารบัญ	๔
สารบัญตาราง	๕
สารบัญภาพ	๖
 บทที่ ๑ บทนำ	 1
บทที่ ๒ ทฤษฎีพื้นฐานที่เกี่ยวข้อง	6
บทที่ ๓ วิธีดำเนินการวิจัยและอุปกรณ์การทดลอง	23
บทที่ ๔ ผลการวิจัยและอภิปรายผลการวิจัย	38
บทที่ ๕ สรุปผลการวิจัยและข้อเสนอแนะ	64
รายการอ้างอิง	67
ภาคผนวก ก มาตรฐานผลิตภัณฑ์อุตสาหกรรม อก. ๑๑๒๐ - ๒๕๓๕	71
ภาคผนวก ข สรุปการใช้งานเครื่อง Chassis dynamometer และ Gas analysis system ..	78
ภาคผนวก ค ตัวอย่างการวิเคราะห์ข้อมูลในการสร้าง Bangkok driving mode	82
ภาคผนวก ง ตัวอย่างตารางเก็บข้อมูลและวิธีการคำนวณเบร์มานสารมลพิชญ์ในไอเสีย ..	88
ภาคผนวก จ ข้อมูลและรายละเอียดรายน้ำที่ร่วมทำการวิจัย	94
ประวัติผู้เขียน	99

สารบัญตาราง

เรื่อง	หน้า
ตารางที่ 2.1 ตัวอย่างการหาค่า SD และ variance	9
ตารางที่ 2.2 แสดงความเหมาะสมของค่า r สำหรับสมการทดถอย	14
ตารางที่ 2.3 แสดงค่า Cd โดยประมาณสำหรับรถยนต์แบบต่างๆ	17
ตารางที่ 2.4 แสดงค่า Kr โดยประมาณสำหรับถนนประเภทต่างๆ	20
ตารางที่ 3.1 ตัวอย่างตารางแจกแจงร้อยละของความถี่ acceleration $a = 1.7 \text{ m/ s}^2$ ปี 1994	25
ตารางที่ 3.2 ตัวอย่างตารางแจกแจงร้อยละของความถี่ acceleration $a = 1.4 \text{ m/ s}^2$ ปี 1994	25
ตารางที่ 3.3 ตัวอย่างตารางแจกแจงร้อยละของความถี่ acceleration $a = 0.9 \text{ m/ s}^2$ ปี 1994	26
ตารางที่ 3.4 ตัวอย่างตารางแจกแจงร้อยละของความถี่ deceleration $a = -1.1 \text{ m/ s}^2$ ปี 1994	26
ตารางที่ 3.5 ตัวอย่างตารางแจกแจงร้อยละของความถี่ constant speed ปี 1994	27
ตารางที่ 3.6 รายละเอียดการทดสอบลักษณะที่ 1	33
ตารางที่ 4.1 คำอธิบาย Bangkok driving mode ปี 1994	42
ตารางที่ 4.2 คำอธิบาย Bangkok driving mode ปี 1995	43
ตารางที่ 4.3 แสดงการเปรียบเทียบระหว่าง Driving mode	46
ตารางที่ 4.4 คำอธิบาย Bangkok driving mode ปี 1994 (สร้างจากค่าความเร่งเฉลี่ย)	49
ตารางที่ 4.5 คำอธิบาย Bangkok driving mode ปี 1995 (สร้างจากค่าความเร่งเฉลี่ย)	50
ตารางที่ 4.6 แสดงการเปรียบเทียบระหว่าง Bangkok driving mode (จากวิธีการสร้างที่แตกต่างกัน)	52
ตารางที่ 4.7 บันทึกผลการทดลองทาง Road load (8 ฉ - 5438)	55
ตารางที่ 4.8 บันทึกผลการทดลองทาง Road load (4 ง - 7044)	55

สารบัญตาราง (ต่อ)

เรื่อง	หน้า
ตารางที่ 4.9 บันทึกผลการทดสอบ荷 Road load (1 ช - 1143)	56
ตารางที่ 4.10 บันทึกผลการทดสอบ荷 Road load (ง - 9984)	56
ตารางที่ 4.11 แสดงภาวะการทดสอบมลพิษที่สำคัญตามมาตรฐาน มอก. 1120 - 2535	57
ตารางที่ 4.12 แสดงผลการวัดมลพิษเฉลี่ยในหน่วย g/ test	58
ตารางที่ 4.13 แสดงผลการวัดมลพิษเฉลี่ยในหน่วย g/ km	59
ตารางที่ 4.14 แสดงร้อยละความแตกต่างปริมาณสารมลพิษ BKK 1995 เทียบกับ	
ECE mode	63
ตารางที่ ค1 แสดงผลของร้อยละความถี่ 8 อันดับแรกของแต่ละ mode ปี 1994	85
ตารางที่ ค2 แสดงผลของร้อยละความถี่ 8 อันดับแรกของแต่ละ mode ปี 1995	86
ตารางที่ ง1 ตารางบันทึกผลการวัดมลพิษจากไอเสียรถยนต์ตาม มอก. 1120 - 2535	89
ตารางที่ ง2 ตารางบันทึกผลการวัดมลพิษจากไอเสียรถยนต์ตาม มอก. 1120 - 2535	90
ตารางที่ จ1 แสดงรายละเอียดรถยนต์ที่ร่วมทำการทดสอบ荷 Bangkok driving mode	96
ตารางที่ จ2 แสดงรายละเอียดรถยนต์ที่ร่วมทำการทดสอบ荷 Bangkok driving mode	98

สารบัญภาพ

เรื่อง	หน้า
รูปที่ 1.1 Bangkok driving mode ปี 1990	4
รูปที่ 1.2 Japan 10 mode driving cycle	4
รูปที่ 1.3 LA4 driving cycle	5
รูปที่ 1.4 ECE driving mode	5
รูปที่ 2.1 แสดงการหาค่า mean และ mode	7
รูปที่ 2.2 แสดงการหาค่า median	8
รูปที่ 2.3 แสดงลักษณะการกระจายของข้อมูล	10
รูปที่ 2.4 โด้งปอดและค่า SD	10
รูปที่ 2.5 ตัวอย่างการกระจายของ y สำหรับตัวแปรอิสระ x แต่ละตัว	11
รูปที่ 2.6 ลักษณะการกระจายของข้อมูลกับค่า r ที่น้อยกว่า 1.00	14
รูปที่ 2.7 ลักษณะของลมที่ผ่านรถรุ่นทั้งๆ	16
รูปที่ 2.8 ลักษณะการหาพื้นที่หน้าตัดของรถยนต์	17
รูปที่ 2.9 การหาค่า Cd ในอุโมงลมแบบเปิด	18
รูปที่ 2.10 การหาค่า Cd ในอุโมงลมแบบปิด	18
รูปที่ 2.11 การเกิดแรงด้านทันทนาการหมุน	20
รูปที่ 2.12 การดูดกลืนรังสีอินฟราเรดของ CO และ CO ₂	21
รูปที่ 2.13 ผลของสารประกอบไฮโดรคาร์บอนในการแตกตัวของเปลวไฟไฮโดรเจนกับอากาศ	22
รูปที่ 3.1 รูปแบบการทดสอบ 1 วัสดุจักร	32
รูปที่ 3.2 ตัวอย่างห้องทดสอบมลพิษจากไฮเดรตดีออกไซด์	35
รูปที่ 4.1 แสดงเส้นทางในการเก็บข้อมูลเพื่อสร้าง Bangkok driving mode	40
รูปที่ 4.2 Bangkok driving mode ปี 1994 (ระหว่างเดือนพฤษภาคม ถึง เดือนธันวาคม)	41
รูปที่ 4.3 Bangkok driving mode ปี 1995 (เดือนพฤษภาคม)	41
รูปที่ 4.4 Bangkok driving mode ปี 1990	44

สารบัญภาพ (ต่อ)

เรื่อง	หน้า
รูปที่ 4.5 E.C.E. mode	44
รูปที่ 4.6 แสดงการเปรียบเทียบ ECE mode กับ BKK mode 1995	45
รูปที่ 4.7 แสดงความแตกต่างระหว่างการเลือกใช้ค่าเฉลี่ยกับการใช้ค่าฐานนิยม	47
รูปที่ 4.8 Bangkok driving mode ปี 1994 (ระหว่างเดือนพฤษภาคม ถึง เดือนธันวาคม) สร้างโดยการเฉลี่ยความเร่งในแต่ละ mode	48
รูปที่ 4.9 Bangkok driving mode ปี 1995 (เดือนพฤษภาคม) สร้างโดยการเฉลี่ยความเร่ง	48
รูปที่ 4.10 แสดงการเปรียบเทียบ BKK 1995 จากการสร้างโดยใช้ค่าเฉลี่ยความเร่ง และฐานนิยมของความเร่งในแต่ละ mode	51
รูปที่ 4.11 แสดงปริมาณสารมลพิษของรถยนต์ที่ทดสอบทั้ง 4 คัน	60
รูปที่ 4.12 แสดงการเปรียบเทียบปริมาณสารมลพิษของรถยนต์ทะเบียน 8 ฉ - 5438	61
รูปที่ 4.13 แสดงการเปรียบเทียบปริมาณสารมลพิษของรถยนต์ทะเบียน 4 ง - 7704	61
รูปที่ 4.14 แสดงการเปรียบเทียบปริมาณสารมลพิษของรถยนต์ทะเบียน 1 ช - 1143	62
รูปที่ 4.15 แสดงการเปรียบเทียบปริมาณสารมลพิษของรถยนต์ทะเบียน ง - 9984	62
รูปที่ ข1 ผังการแสดงการใช้งานเครื่อง Chassis dynamometer	81
รูปที่ ค1 แสดงตัวอย่างการเก็บข้อมูลของ data-logger ซึ่งทำการเก็บข้อมูล ทุกๆ 0.5 วินาที	87